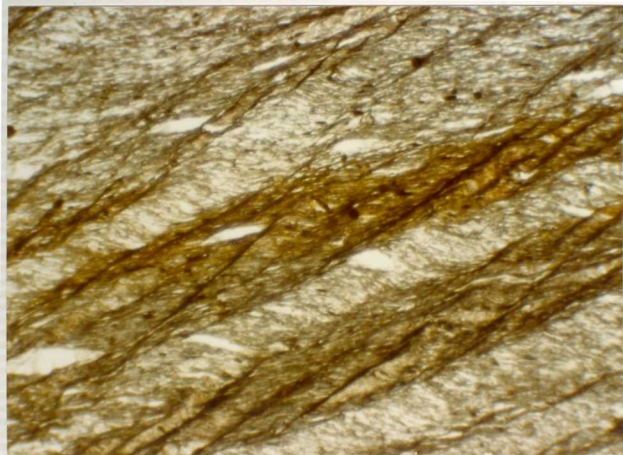
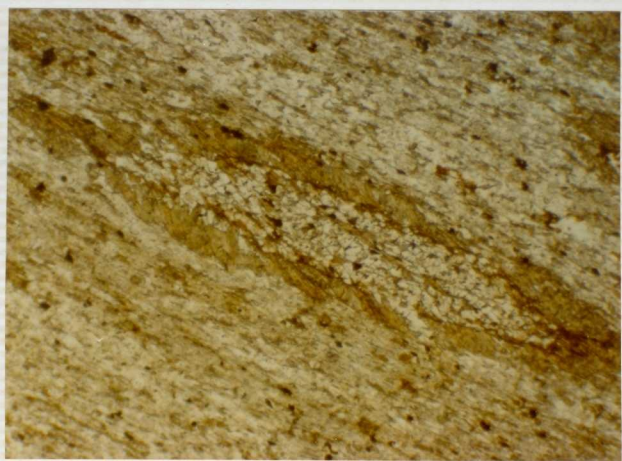


A.- Neis anfibólico de la Serie de Villalba, (PC $\xi$ + $\xi$ A). Anfíboles y granate son poiquilíticos y engloban a la esquistosidad principal S<sub>1</sub>.

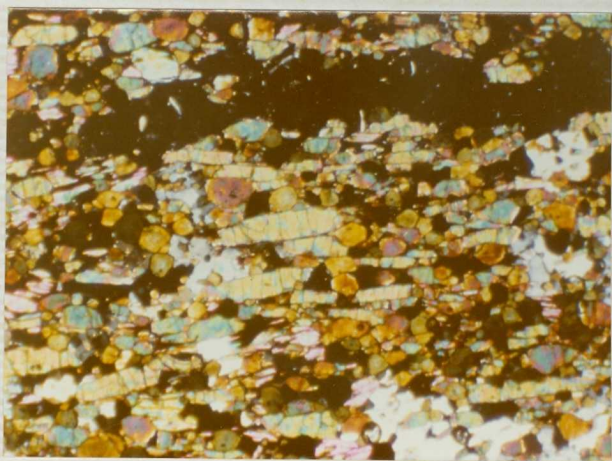
40 aumentos. Analizador a 82° del polarizador.



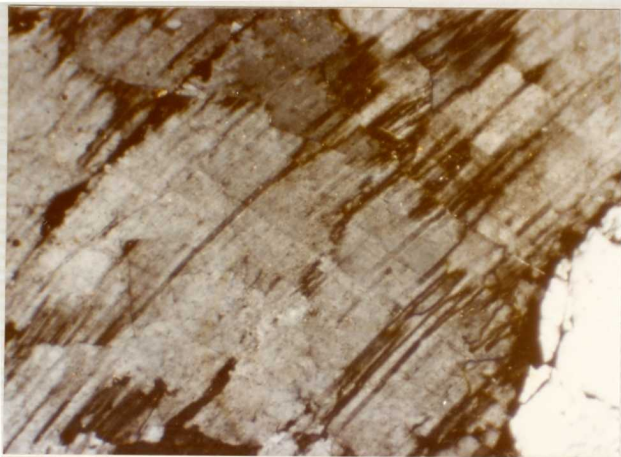
B.- Esquistosidad principal  $S_1$  de flujo cre  
nulado por la fase 2. La crenulación  
 $S_2$  ha producido un bandeado tectónico  
con bandas más micáceas y otras más  
cuarcíticas. Pizarra del Silúrico (S).  
40 aumentos. Luz polarizada sin analizar



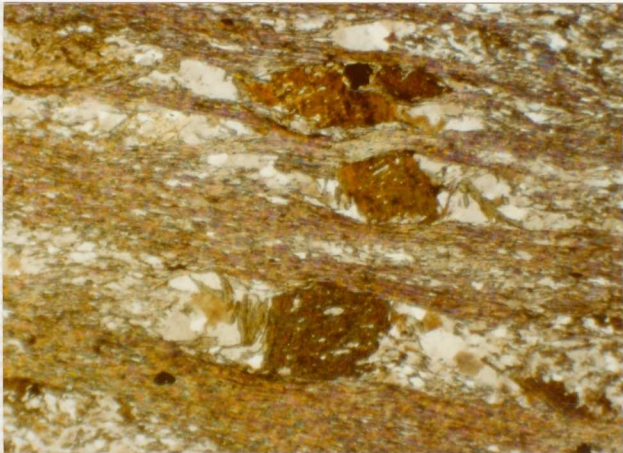
MC-146 Nódulo formado por cristalización de clorita en la parte externa, quedando el centro enriquecido en cuarzo. Pizarras de Candana (CA<sub>1</sub>p<sub>1</sub>). 40 aumentos. Luz polarizada sin analizar.



MC-166. Turmalinita orientada, cerca del granito de dos micas del macizo de Sarria. (d 2).  
40 aumentos.  $\gamma$  Nícoles cruzados.



MC-210 Plagioclasa deformada en un filón de pegmatita dentro de la Serie de Villalba. ( $PC_{\xi} + \xi A$ ). El filón está boudinado por la fase 1. 40 aumentos. Nícoles cruzados.



PM-541 Porfiroblastos de biotita crecidos en un estadio tardío de la fase 1. El cristal ha sufrido una ligera rotación. Capas de Tránsito,  $(CA_1p_2)$ . 40 aumentos. Analizador a  $40^\circ$  del polarizador.